

## مروری بر کاربردها و خواص سایشی پوشش‌های کربن شبه الماس

\*<sup>۱</sup>مهشید نواب مقدم<sup>۱</sup>، شاهین خامنه اصل<sup>۲</sup>

۱- دانشجوی کارشناسی ارشد، گروه مهندسی مواد، دانشگاه تبریز، تبریز، ایران، کد پستی: ۵۱۶۶۶-۱۴۷۶۶

۲- دانشیار، گروه مهندسی مواد، دانشگاه تبریز، تبریز، ایران، کد پستی: ۵۱۶۶۶-۱۴۷۶۶

تاریخ دریافت: ۹۸/۰۲/۱۴ تاریخ بازبینی نهایی: ۹۸/۰۵/۱۲ تاریخ پذیرش: ۹۸/۰۵/۰۹ در دسترس بصورت الکترونیک: ۹۸/۰۸/۱۴

### چکیده

مجموعه‌های متحرک مکانیکی در خلا و تماس مستقیم بین سطوح در کاربردهای فضایی، باعث شده است که تحقیقات زیادی برای یافتن پوشش‌های روان‌کننده جامد-جامد با عمر طولانی انجام شود. اخیراً استفاده از پوشش کربن شبه الماس DLC رایج شده است و بسته به خواص موردنیاز، روش‌های مختلفی برای رسوب‌دهی استفاده می‌شود. پوشش DLC هیدرورزن دار، رشد زیادی در صنعت برای استفاده‌های گوناگون کرده است، زیرا ضریب اصطکاک کم و مقاومت به سایش بالایی دارد. بیشترین روش مورد استفاده برای سنتز فیلم‌های کربن شبه الماس روش رسوب‌نشانی شیمیایی بخار CVD، پلاسمای ماکروویو در فشار کم متن و گاز هیدرورزن است. اما این فرآیندها هزینه بالایی دارد. روش آبکاری الکتریکی از لحاظ ارزانی تجهیزات و سادگی فرآیند برای تهیه فیلم‌های DLC و مواد کربنی مربوطه در حال رقبابت با سایر روش‌ها است. به دلیل اینکه پوشش کربن شبه الماس به دست آمده به روش الکتروشیمیایی دارای تنفس داخلی است، برای حل این مشکل، کربن شبه الماس با عناصر مختلفی آلاییده (دوب) می‌شود که به نظر می‌رسد فلز نیکل شده با فلزات و نیکل و خواص مکانیکی و سایشی آن بررسی می‌گردد.

### واژه‌های کلیدی

پوشش کربن شبه الماس، پوشش روان‌کننده، خواص سایشی، کربن شبه الماس دوب نیکل.

### چکیده تصویری





## A Review on Applications and Tribological Properties of Diamond-Like Carbon Coatings

Mahshid Navvab Moghaddam, Shahin khameneh Asl\*

Department of metallurgy, Tabriz University, P. O. Box: 51666-14766, Tabriz, Iran.

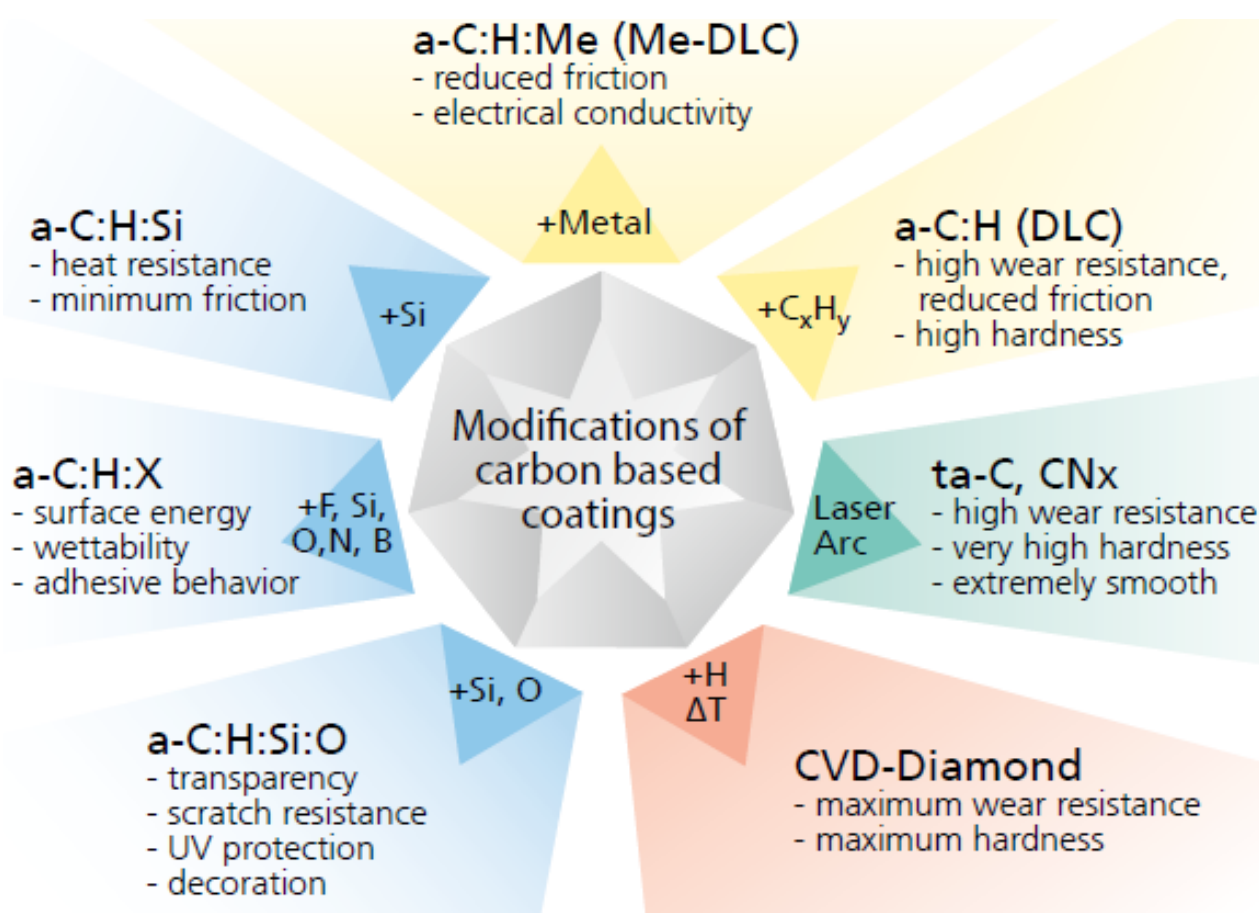
### Abstract

Mechanical moving assemblies in vacuum and direct contact between surfaces in space applications have led to extensive research into solid-solid lubricating coatings with a long life span. Recently, the use of diamond like carbon (DLC) coating has become commonplace and, depending on the properties required, different methods of deposition are used. Hydrogenated DLC coatings have grown enormously in the industry for a variety of uses, due to its low coefficient of friction and high abrasion resistance. The most commonly used method for the synthesis of Diamond like carbon films is the low-pressure microwave plasma CVD of methane and hydrogen gas mixtures. But these processes cost a lot. The electroplating method is in competition with other methods in terms of the cost of equipment and the simplicity of the process for the production of DLC films and related carbon materials. Due to the fact that the Diamond like carbon coating is obtained by electrochemical method have the internal stress , to solve this problem Diamond like carbon doped with various elements which seems Ni have a better performance in terms of mechanical and tribological properties. In this paper, we studied about types of DLC, its application and manufacturing method, metals dope DLC, Ni dope DLC and its mechanical and tribological properties.

### Keywords

Diamond like carbon coating, Lubricating coatings, Tribological properties, Diamond like Carbon doped Ni.

### Graphical abstract



## ۱- مقدمه

[۳] به دلیل هزینه کم و راحت‌تر بودن فرآیند آبکاری الکتروکسی این روش بررسی شد.

### ۲- انواع کربن شبه الماس (DLC)

فیلم‌های بی‌شکل DLC، کربن با هیدروژن (H) (a-c:H) یا بدون هیدروژن (a-c) هستند که ماده شبه‌پایدار بی‌شکل با خواص مکانیکی، نوری، الکتروکسی، شیمیایی و سایشی عالی ایجاد می‌کنند. این فیلم‌ها می‌توانند در دماهای پایین با روش‌های مختلف و با استفاده از انواع مختلفی از پیش‌سازه‌ها و ترکیبات عناصر مختلف مثل N، F یا فلزات دیگر آمده شوند. این مواد فلزی و غیرفلزی می‌توانند براساس نوع کاربرد پوشش DLC، اضافه شوند. روش‌های مختلف مورد استفاده برای رسوب لایه‌های DLC، انعطاف‌پذیری زیادی روی خواص برای کاربردهای گوناگون ایجاد می‌کند. پوشش DLC هیدروژن‌دار، رشد زیادی در صنعت برای استفاده‌های گوناگون کرده است، زیرا ضریب اصطکاک کم و مقاومت به سایش بالایی دارد اما برای بدون هیدروژن یا تتراهرال (ta-c) هیچ کاربرد عملی مشخص نشده است [۴-۶]. شکل ۱ انواع کربن شبه الماس را در نمودار فازی، و شکل ۲ به طور طرح‌وار نمایش می‌دهد.

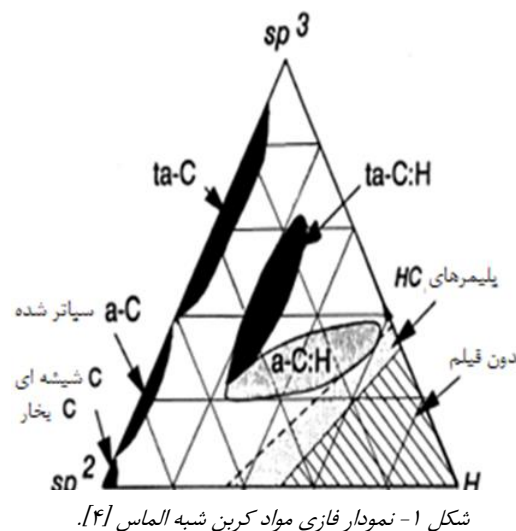
### ۳- کاربرد کربن شبه الماس

کربن شبه الماس به دلیل خاصیت شفاف بودن در مقابل نور مرئی به عنوان پوششی ضدانعکاس و ضدخراش بر روی شیشه‌های عینک مورد استفاده قرار می‌گیرد. دمای پایین تخلیه به DLC این اجازه را می‌دهد تا به عنوان لایه محافظه بر روی محصولات ساخته شده از پلاستیک قرار گیرد. بنابراین برای محافظت در برابر سایش شیشه‌های عینک آفتایی ساخته شده از پلی کربنات از DLC استفاده می‌شود. استفاده گسترده از فیلم‌های DLC برای حفاظت خودگی و حفاظت از رساناهای مغناطیسی صورت می‌گیرد. فیلم‌های بسیار نازک DLC به عنوان پوشش‌های محافظه در برابر خوردگی و پوشش‌های محافظه برای صفحات مغناطیسی و غیرمغناطیسی استفاده می‌شود. به نظر می‌رسد کربن شبه الماس سازگار با محیط است و برای کاربردهای عملی قابل استفاده می‌باشد.

تمامی مواد جامد از طریق سطح با محیط اطراف خود در تماس هستند و به جرأت می‌توان گفت که در بین تجهیزات، قطعات و سازه‌های ساخت دست بشر، کمتر قطعه‌ای یافت می‌شود که حداقل یک عملیات پوششکاری یا تمام کاری سطح، بر روی آن انجام نشده باشد. مواد استفاده شده برای پوشش‌دهی بدنه‌ها از تنوع گسترده‌ای برخوردار است. مواد آلی و پلیمرها، سرامیک‌ها، انواع فلزات خالص وآلیاژی و حتی مواد کامپوزیتی را می‌توان به عنوان پوشش به کاربرد. روش‌های اعمال این پوشش‌ها نیز دارای تنوع گسترده و در حال رشدی است که بسته به شرایط و کاربرد قطعه مورد نظر باید انتخاب شوند [۱].

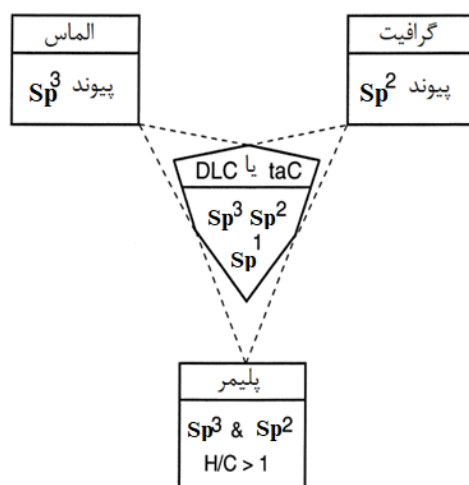
مشکل اساسی بسیاری از تولیدات صنعتی اعم از خودرو، هواپیما، لوازم خانگی، الکترونیک و غیره، ضریب اصطکاک بالای سطوح تماسی است. بسیاری از فرآیندها در صنعت بدون استفاده از پوشش‌های روان‌کننده معروف به روان‌کننده‌های فیلم‌جامد برای سطوح درگیر در حال حرکت، غیرممکن است [۲]. با افزایش تقاضا در عملکرد سایشی<sup>۱</sup> برای کاربردهای هوا فضایی، توسعه روانکاری جامد - جامد ضروری است. استفاده از مجموعه‌های متحرک مکانیکی در خلا یک مساله چالش برانگیز است زیرا در این شرایط تماس مستقیم بین سطوح فلزی باعث ایجاد اصطکاک و سایش زیاد از طریق جوش سرد می‌شود. از طرف دیگر استفاده از روان‌کننده‌های مایع مشکل است زیرا باعث آلودگی سایر قطعات توسط روان‌کننده می‌شود. علاوه بر این در کاربردهای فضایی با گرانش کم، ممکن است تغذیه مناطق تماس را روان‌کننده‌های مایع با مشکل رو به رو باشد. اخیراً استفاده از پوشش‌های کربن شبه الماس<sup>۲</sup> در بسیاری از کاربردهای مکانیکی متداول برای کاهش اصطکاک و سایش موفقیت‌آمیز بوده است. اما هنوز برخی محدودیت‌هایی وجود دارد. یکی از محدودیت‌ها این است که بعد از رسوب پوشش، برخلاف روانکارهای مایع مسیر سایش نمی‌تواند دوباره پر شود. بنابراین طول عمر و مقاومت به سایش مهم است

<sup>1</sup> Tribological  
<sup>2</sup> Diamond Like Carbon



شکل ۱- نمودار فازی مواد کربن شبه الماس [۷].

# مقاله



شکل ۲- محدوده خواص کربن شبه الماس با توجه به نوع پیوند [۴].

روش جدیدی برای رسوب دادن فیلم‌های DLC، ایمپلنت با منبع یونی پلاسما<sup>۲</sup> (PSII) می‌باشد. در این روش زیر لایه بصورت مستقیم در منبع پلاسما قرار می‌گیرد و بعد پالس-بایاس<sup>۳</sup> می‌شود. این روش غیرخطی است و امکان پوشش ساختارهای پیچیده را نیز فراهم می‌کند. خواص فوق سخت از فیلم‌های Tac توسط انرژی‌های بالای پیوند ذراتی که فیلم‌ها را تشکیل می‌دهند به دست می‌آیند. انرژی لازم برای اینگونه پوشش‌کاری‌ها با تغییرهای مختلفی در قوس خلا یا کاتد، مانند قوس فیلترشده، قوس پالسی، قوس با لیزر، ضایعات لیزری پالسی بدست می‌آید. تخلیه قوس خلا می‌تواند باعث گرمای بیش از حد در کاتد شده و در نتیجه باعث رسوب دانه‌های خشن شود. این مشکلات می‌تواند با اصلاحات پیشنهاد شده برای آبکاری نرم و خلی سخت فیلم‌های Tac حل شود. همچنین روش PSII می‌تواند، برای آبکاری Tac نیز مورد استفاده قرار گیرد [۴]. بیشترین روش مورد استفاده تبخیر شیمیایی بخار (CVD) پلاسما ماکروویو فشار کم متنان و گاز هیدروژن بکار رفته است (DLC نشان داده است. فیلم‌های غیرهیدروژنی Tac (فیلم‌های کربن شبه الماسی که در ساختار آنها هیدروژن بکار نرفته است) نیز کاربرد گسترده‌ای به عنوان کاتد در صفحه نمایش‌های تخت و یا به عنوان عناصر پیکسل در صفحه نمایش بزرگ پیدا کرده‌اند [۴]. با افزایش تقاضا در عملکرد سایشی برای کاربردهای هوا فضایی، توسعه روانکاری جامد-جامد ضروری است. پوشش‌های کربن شبه الماس در بسیاری از کاربردهای مکانیکی معمولی برای کاهش اصطکاک و تهیه فیلم‌های DLC و مواد کربنی مربوطه در حال رقابت با سایر روش‌ها می‌باشد [۸، ۹]. روش‌های رسوب‌دهی یکی از عوامل مهم بر پوشش DLC است. در حال حاضر انواع مختلفی از روش‌های رسوب فیلم‌های DLC وجود دارد. برای رسوب DLC می‌توان از طیف گسترده دمایی استفاده کرد. این دما ممکن است از زیر صفر تا ۴۰۰ درجه سانتی‌گراد متفاوت باشد. فشار گاز آبکاری، ولتاژ بایاس و زمان اج کردن می‌تواند در نوع رسوب تاثیر بگذارد. پوشش‌های DLC در صورتی می‌توانند خواص

با توجه به شکنندگی شیمیایی آن‌ها و عدم نفوذپذیری مایعات، پوشش‌های DLC می‌توانند ایمپلنت‌های زیستی را در برابر خوردن محافظت کنند و به عنوان موانع انتشار استفاده شوند. فیلم‌های DLC برای استفاده به عنوان پوشش‌های فلزی و همچنین پلیمری مانند پلی کربنات و پلی اتیلن، کامپوزیت‌های زیستی برای بهبود سازگاری با بافت‌های بدن مورد استفاده قرار می‌گیرند. کربن شبه الماس پوشیده شده در فولاد ضدزنگ و آلیاژهای تیتانیم که برای اجزا دریچه‌های قلب مصنوعی استفاده می‌شود، برآورده شده است که نیازهای مکانیکی و زیستی را برطرف می‌کند و قادر به بهبود عملکرد این اجزا می‌باشد. خواص مشابه می‌تواند DLC را به عنوان یک پوشش محافظت برای ایمپلنت‌ها مفید سازد. همچنین بهبود پروتز کامپوزیت کربن / کربن توسط پوشش‌های DLC نشان داده است. فیلم‌های غیرهیدروژنی Tac نشان داده است که در ساختار آنها هیدروژن بکار نرفته است (نیز کاربرد گسترده‌ای به عنوان کاتد در صفحه نمایش‌های تخت و یا به عنوان عناصر پیکسل در صفحه نمایش بزرگ پیدا کرده‌اند [۴]. با افزایش تقاضا در عملکرد سایشی برای کاربردهای هوا فضایی، توسعه روانکاری جامد-جامد ضروری است. پوشش‌های کربن شبه الماس در بسیاری از کاربردهای مکانیکی معمولی برای کاهش اصطکاک و سایش موققیت‌آمیز بود [۳].

## ۴- روش‌های ساخت کربن شبه الماس

برای بدست آوردن ساختار شبه پایدار DLC از روش رسوب نشانی بخار شیمیایی (PECVD)<sup>۱</sup> و یا روش تبخیر فیزیکی بخار (پاشش یا پرتو یونی) استفاده می‌شود. هیدروژن برای بدست آوردن خواص شبه الماسی در این ماده مورد نیاز است تا ساختار آن را کنترل کند و خواص نوری و الکتریکی مورد نیاز بدست آید و تنش‌های داخلی نیز کنترل شود. در اغلب موارد رسوب به صورت خطی است و پوشش فقط در یک طرف زیر

<sup>2</sup> Plasma Source Ion Implantation (PSII)

<sup>3</sup> Pulse-Biased

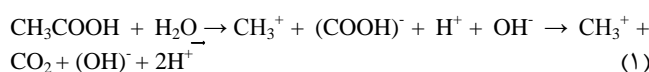
<sup>1</sup> Plasma Enhanced Chemical Vapor Deposition

تولید کربن با پیوند SP<sup>2</sup> و SP<sup>3</sup> شود تا فیلم DLC روی SNO<sub>2</sub> به صورت پوشش تشکیل شود. تشکیل خوشه‌های بحرانی بعد از آن منجر به تشکیل فیلم‌های مداوم می‌شود. مدل ساده در شکل ۳ مشخص شده است. مطالعه تاثیر ولتاژ اعمال شده بین دو الکترود در طول آبکاری بسیار جالب بود. شکل ۴ (الف-ج) تصویر میکروسکوپ الکترونی روبشی<sup>۲</sup> (SEM) فیلم‌های DLC از یک حمام حاوی اسید در ولتاژ مختلف را نشان می‌دهد. می‌توان مشاهده کرد که شکل ظاهری کلی فیلم‌ها ثابت باقی می‌ماند در حالیکه با افزایش ولتاژ دانه‌ها بیشتر فشرده می‌شوند. شکل ۴-د ریزنگار میکروسکوپ الکترونی عبوری<sup>۳</sup> (TEM) فیلم را نمایش می‌دهد. می‌توان درک کرد که رادیکال‌های متیل به یکدیگر متصل می‌شوند تا خوشه‌های بحرانی را ایجاد کنند. الگوهای پراش پرتوایکس فیلم‌های مربوط به شکل ۴، در شکل ۵ نشان داده شده است [۷].

<sup>2</sup> Scanning Electron Microscope

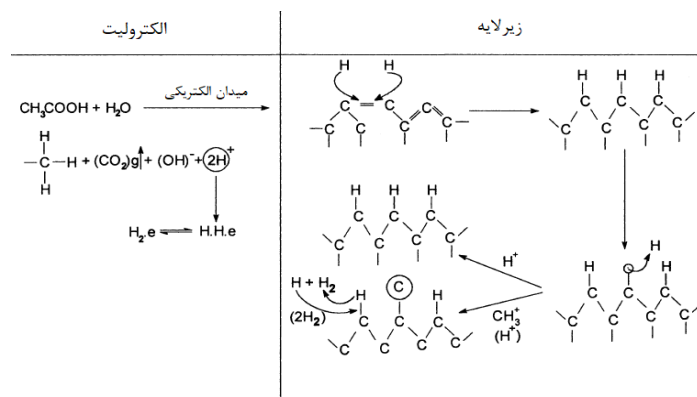
<sup>3</sup> Transmission Electron microscopy

مورد نظر را داشته باشد که چسبندگی بین پوشش و زیرلایه به اندازه کافی قوی باشد [۵، ۶]. پال<sup>۱</sup> و همکارانش [۷] در مورد سنتز فیلم کربن شبه الماس با روکش الکترودهای جدید تحقیقاتی انجام دادند. در این روش اسید استیک به عنوان الکتروولیت انتخاب می‌شود و سنتز فیلم‌های DLC به روش آبکاری الکتریکی بر روی پوشش شیشه‌ای SNO<sub>2</sub> انجام می‌گیرد و گرافیت به عنوان آند مورد استفاده قرار می‌گیرد. ضخامت پوشش، کم در نظر گرفته می‌شود و اسید استیک در آب یونیزه می‌شود (واکنش ۱).

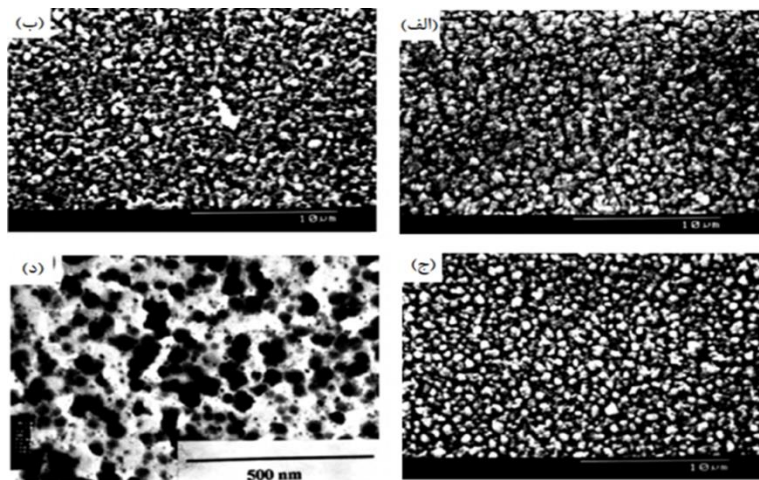


بنابراین سطح کاتد حضور غلظت بسیار بالایی از رادیکال‌های متیل و یون‌های هیدروژن را که ضروری برای رساندن الماس یا فیلم‌های DLC برروی زیر لایه است، بدست می‌آورد. در حال حاضر سطح لایه SNO<sub>2</sub> که دارای محل‌های کمبود اکسیژن است، محل اتصال به رادیکال‌های CH<sub>3</sub> را همراه هیدروژن فراهم می‌کند که می‌تواند شامل شکستن پیوند و

<sup>1</sup> Pal

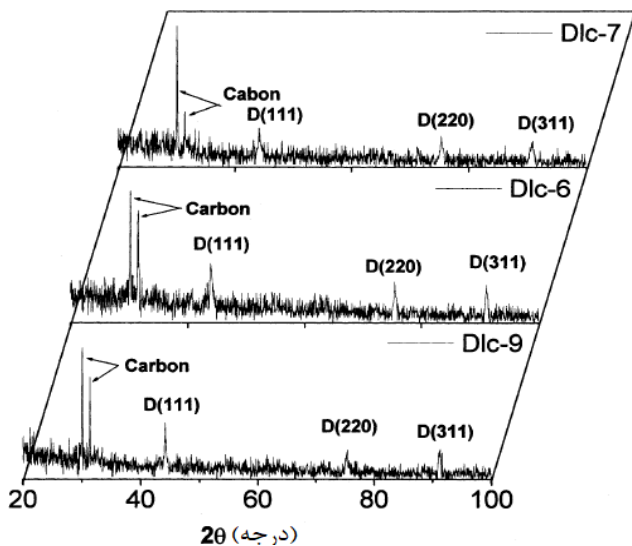


شکل ۳- مدل ساده برای رشد فیلم‌های DLC با روش آبکاری الکتریکی [۷].



شکل ۴- تصاویر میکروسکوپ الکترونی روبشی فیلم‌های DLC درون اسید استیک با ولتاژ‌های مختلف (الف) ۱ کیلوولت، (ب) ۲/۵ کیلوولت و (د) تصویر TEM [۷].

# مقاله



شکل ۵- الگوی پراش پرتوایکس فیلم های DLC

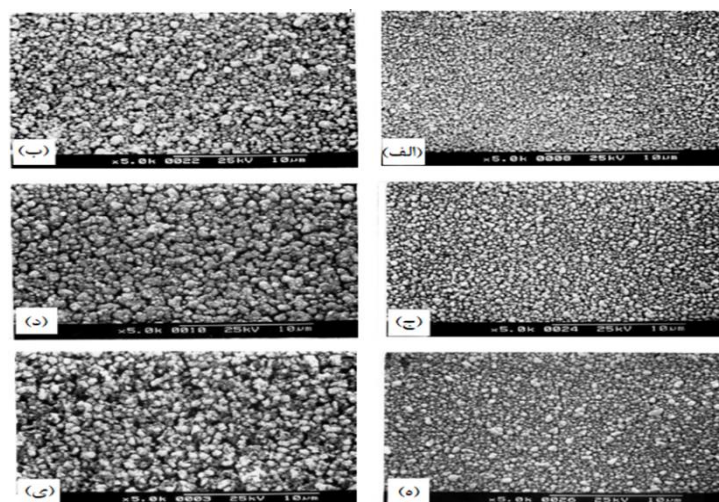
شدت پیک‌های بین G و D (ID/IG) یک مولفه بسیار مهم برای تشخیص مواد DLC مانند است. مقالات گزارش کرده‌اند که افزایش نسبت ID/IG به افزایش پیوند<sup>3</sup> sp مربوط است. نسبت ID/IG برای پوشش DLC بدست آمده از روش‌های مختلف و تحت شرایط مختلف مابین  $\frac{1}{3}$  تا ۰.۵ بود. طیف معمولی رامان فیلم DLC رسوب داده شده به روش الکتریکی بر روی فولاد در شکل ۸ نشان داده شده است و نسبت ID/IG برای هر نقطه از یک نمونه اندازه‌گیری شد و میانگین آن در جدول ۲ گزارش شده است [۱۳]. نشان داد که نسبت ID/IG از  $\frac{2}{83}$  تا  $\frac{3}{03}$  به برای نمونه تهیه شده در ولتاژ -۸ نسبت به نمونه‌ای که در ولتاژ -۱۵ بوده کاهش می‌یابد. در نتیجه فیلم با کیفیت پایین در ولتاژ‌های بالاتر قرار می‌گیرد علاوه بر این مشخص شد که غلظت اسید استیک بالاتر نسبت ID/IG را بیشتر می‌کند. شکل (a-c) ۹ میکروسختی فیلم‌های DLC را به عنوان تابعی از پتانسیل، زمان، غلظت اسید استیک نشان می‌دهد [۱۳].

ناما و همکارانش [۱۴] معتقدند که جریان عبوری از زیر لایه نقش مهمی در تشکیل پوشش از محلول آلی دارد. چگالی جریان بالا نشان می‌دهد که ذرات قطبی بیشتری از محلول به سمت الکترود حرکت می‌کنند که ممکن است تاثیر مهمی در سرعت رشد فیلم‌ها داشته باشد. در تحقیقی دیگر تاثیر جوشیدن الکترولیت تحت ولتاژ بالا و افزایش دما در کنار الکترود بررسی گردید و نتایج نشان داد که جوشیدن منجر به کاهش میزان رسوب و در نتیجه تشکیل یک فیلم غیروابسته می‌شود. این مشکل را می‌توان با کاهش ولتاژ عرضه شده حل کرد اما کاهش ولتاژ منجر به کاهش چگالی جریان و در نتیجه منجر به کاهش میزان رسوب می‌شود. برای برطرف کردن مشکل کاهش چگالی جریان می‌توان از کاهش فاصله الکترودها استفاده کرد که با این روش دستیابی به چگالی جریان بالا حتی در ولتاژ‌های پایین نیز امکان‌پذیر است علاوه بر این با این روش احتمال بیشتری وجود دارد که یون‌ها یا رادیکال‌ها قبل از اتصال و ترکیب مجدد به الکترودهای مربوطه وارد شوند [۱۵].

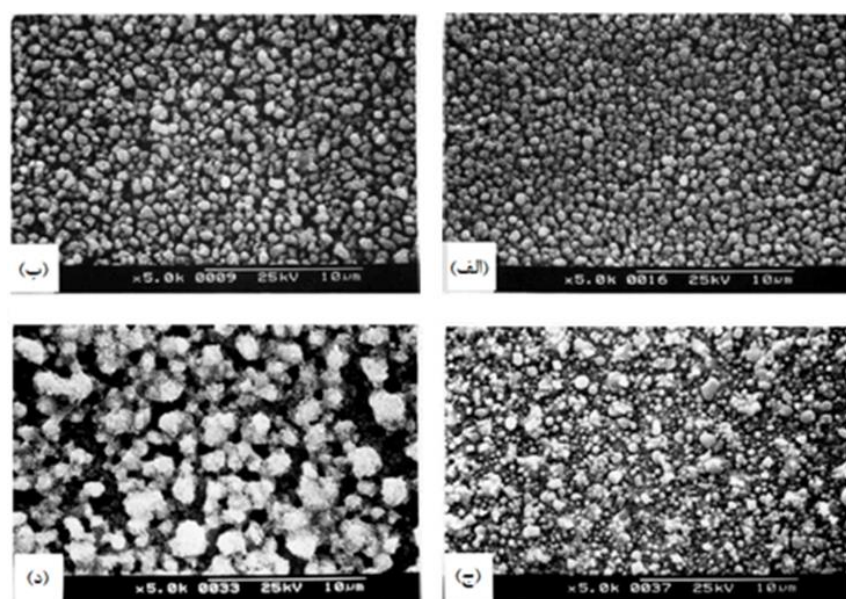
پال و همکارانش [۱۰، ۱۱] در تحقیقی دیگر در مورد سنتز فیلم‌های کربن شبکه الماس با روش آبکاری و با استفاده از اسید فرمیک به عنوان الکترولیت بررسی‌هایی انجام داده‌اند. اثر ولتاژ اعمال شده در طول الکترولیز بر روی خواص فیلم مورد مطالعه قرار گرفت. جنس آند گرافیت می‌باشد. شکل ۶ تصاویر میکروسکوپ الکترونی روبشی فیلم‌های پوشیده شده در ولتاژ‌های مختلف در سه حمام گوناگون اسید فرمیک و آب یونیزه شده را نشان می‌دهد. بنابراین فیلم‌های DLC تولید شده در پتانسیل کم، ساختار دانه ریزتری نسبت به فیلم‌های پوشیده شده در افزایش ولتاژ افزایش می‌یابد. اثر دمای حمام در میکرو ساختار فیلم‌ها در شکل ۷ نمایش داده شده است. در اثر افزایش دمای حمام رشد دانه‌ها اتفاق می‌افتد و مقدار فشرده‌گی فیلم‌ها افزایش می‌یابد. بنابراین پوششکاری فیلم‌ها باید در دما و غلظت و پتانسیل مناسب انجام گیرد.

در تحقیقی دیگر اثر متان، اتان، استیلن و ترکیبات مشابه را بر عملکرد اصطکاک و سایشی پوشش‌های DLC ببروی زیر لایه فولادی بررسی شد. نتایج نشان داد که هیدروژن برای بدست آوردن ضرب اصطکاک کم و مقاومت به سایش بالا در فیلم‌های DLC ضروری است. آنها پلاسمای متان را با هیدروژن رقیق کردند با افزایش مقدار هیدروژن کاهش ضرب اصطکاک بدست آمد. بمباران شدید یون‌های هیدروژن مانع ایجاد پیوند دوگانه کربن (C=C) در فیلم‌های DLC می‌شود و از مرحله گرافیتی شدن عبور می‌کند [۱۲].

پال و همکارانش [۱۳] روش رسوب‌دهی ساده با استفاده از اسید فرمیک، اسید استیک و آب یونیزه به عنوان الکترولیت پیشنهاد کردند. با استفاده از این الکترولیت فاز الماس و فیلم‌های DLC گزارش شد که آنها تشکیل می‌شوند. با توجه به ساختار فیلم‌های DLC شبکه الماسی نانوبلوری کربن عمده‌تا همگن و بی‌شکل هستند اما برخی از ساختارهای نانوبلوری کربن معمولاً در بستری شکل یافت می‌شود. نسبت SP<sup>3</sup>/SP<sup>2</sup> مولفه اصلی تعیین میکروساختار است. آزمون‌های الکتروشیمیابی در شرایط مشخص شده در جدول ۱ برای تعیین شرایط مطلوب پوشش ارایه شده‌است. نسبت



شکل ۶- تصویر میکروسکوپ الکترونی رویشی برای دو مجموعه از فیلم‌های پوشیده شده در دو پتانسیل کاربردی ارائه شد. (الف، ج، ه) ۲/۱۳ ولت و (ب، د، ی) ۳/۶۹ ولت در حمام‌های حاوی غلظت مختلف اسید فرمیک در آب، (الف، ب) ۰/۵ درصد، (ج، د) ۱ درصد و (ه، ی) ۱۰ درصد [۱۰].

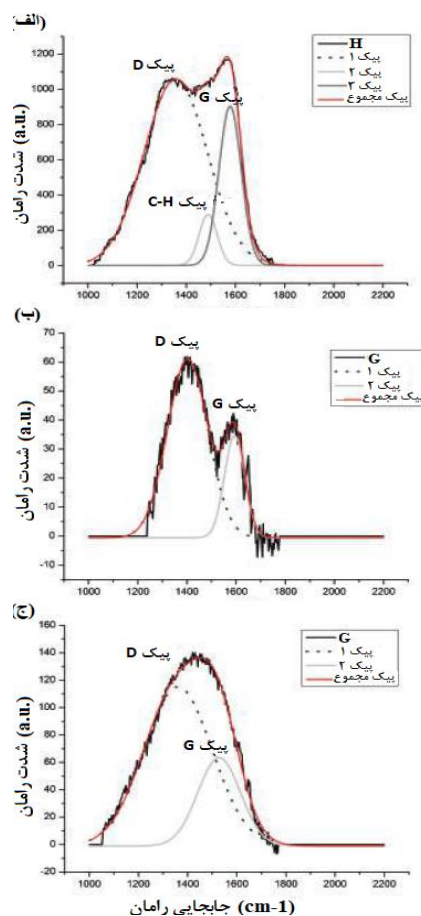


شکل ۷- تصویر میکروسکوپ الکترونی رویشی فیلم‌های پوشش داده شده در ۳۶۰ درجه کلوین و ولتاژ اعمالی ۴/۲۶ ولت در حمام‌هایی با غلظت اسید فرمیک متفاوت (الف) ۰/۵ درصد، (ب) ۱ درصد، (ج) ۵ درصد و (د) ۱۰ درصد [۱۰].

جدول ۱- مولفه‌های تجربی مورد استفاده برای پوشش دهی الکتریکی DLC در دمای اتاق [۱۳].

نمونه	پتانسیل (V)	درصد اسید استیک	زمان (ساعت)
۱	-۸	۱	۱
۲	-۸	۱	۲
۳	-۸	۱	۵
۴	-۸	۲	۱
۵	-۸	۵	۱
۶	-۸	۱۰	۱
۷	-۱۵	۱	۱
۸	-۲۰	۱	۱

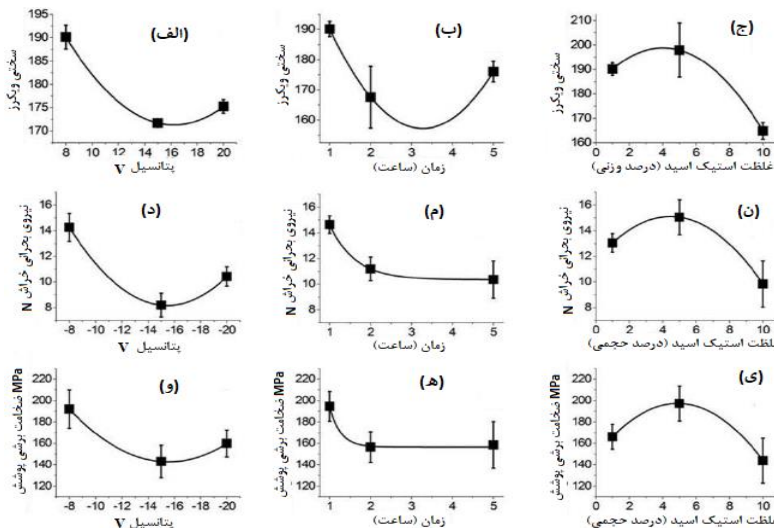
# مقاله



شکل ۱- طیف رامان فیلم‌های DLC رسوب داده شده در (الف)-۱ ساعت در ۱٪ حجمی اسید استیک (ج) ۷ برابر ۱ ساعت در ۵٪ حجمی اسید استیک (ب) ۱-۷ برابر ۱ ساعت و ۱٪ حجمی اسید استیک (ج) ۱۵ برابر ۱ ساعت و ۱٪ حجمی اسید استیک [۱۳]

جدول ۲- مولفه‌های رسوب‌دهی الکتریکی DLC و الماس مربوط به نسبت گرافیت ( $I_D/I_G$ )، به وسیله طیف‌سنجی رامان [۱۳]

نمونه	پتانسیل (V)	د رد صد اسید استیک	زمان (ساعت)	$I_D/I_G$
۱	-۸	۱	۱	$0.12 \pm 3/0.3$
۲	-۸	۵	۱	$0.12 \pm 3/32$
۳	-۱۵	۱	۱	$0.06 \pm 2/83$



شکل ۹- تاثیر زمان، پتانسیل و غلظت اسید استیک بر روی خواص مکانیکی فیلم‌های DLC بر روی فولاد کربنی (شرایط رسوب: پتانسیل ۲۸ V، غلظت اسید استیک ۵ vol٪ زمان ۱ ساعت). (الف-ج) میکروسختی، (د-ن) چسبندگی، (د-ن) با توجه به بار خراش بحرانی و (و-ی) خطوط برای راهنمای چشم هستند [۱۳]

تحت شرایط ولتاژ فوق العاده پایین نشاندند. چن<sup>۱</sup> و همکارانش یک روش جدید الکتروشیمیایی برای تهییه دوپ طلا بر روی a-c:H سیلیکونی تکبلوری ارائه کردند. یو<sup>۲</sup> و همکارانش یک فرآیند ساده و مؤثر آبکاری الکتریکی برای ساخت فیلم کامپوزیتی فوق رسانای a-CN<sub>x</sub>:Ru/ دوپ نانو ذرات Pd که دارای پلی کربن هیدروژن بی شکل است را گزارش کردند. چن و همکارانش از طریق نشاندن نیکل خالص روی هدف گرافیت پوشش دهی کردند. فیلم های کربن حاوی نیکل بوسیله روش خلاء کاتدی فیلتر شده و دریافتند که اتم های نیکل به راحتی اتم های کربن اطراف را رسوب می دهند. این بدان دلیل است که نیکل می تواند هدایت الکتریکی فیلم را افزایش دهد که باعث می شود نیکل به عنوان دوپ ایده آل با کاربرد بالقوه در دستگاه انتشار الکترونی میدان استفاده شود که ما را تشویق می کند نیکل را در فیلم های DLC به منظور کاهش تنش داخلی فیلم DLC و برای افزایش قدرت اتصال بین فیلم DLC و زیر لایه بطور همزمان استفاده کنیم. تصویر میکروسکوپ الکترونی رویشی فیلم های DLC دوپ شده با نانو ذرات نیکل بدست آمده تحت پتانسیل کم با استفاده از دی متیل سولفوکسید به عنوان منبع کربن و محلول اسید استیک استات نیکل به عنوان منبع دوپ در شکل ۱۰ آورده شده است. جنس آند و کاتد در این مطالعه گرافیت می باشد. مشخص است که ترک های شدید در سطح فیلم DLC دوپ نشده وجود دارد که می تواند منجر به تنش باقیمانده زیاد در این فیلم شود. در مقایسه در فیلم های DLC- دوپ نیکل تشکیل دانه های کروی با میانگین اندازه در حدود ۵۰۰ نانومتر قابل ملاحظه است و این بدان معنی است که دوپ کردن نیکل می تواند بطور مؤثر باعث کاهش تنش باقیمانده در فیلم DLC شود [۸، ۹].

باندی<sup>۳</sup> و همکارانش [۱۶] بر روی فیلم های نازک DLC که به روش رسوب دهی الکتریکی بر روی پایه شیشه ای تحت پوشش<sub>2</sub> SNO با الکتروولت اسید استیک و آب رسوب داده شده اند نانو ذرات نیکل را به بستر DLC وارد کردند. نتایج نشان می دهند که مقاومت به خوردگی فیلم های Ni- DLC با افزایش محتوای نیکل در فیلم ها کاهش می باشد.

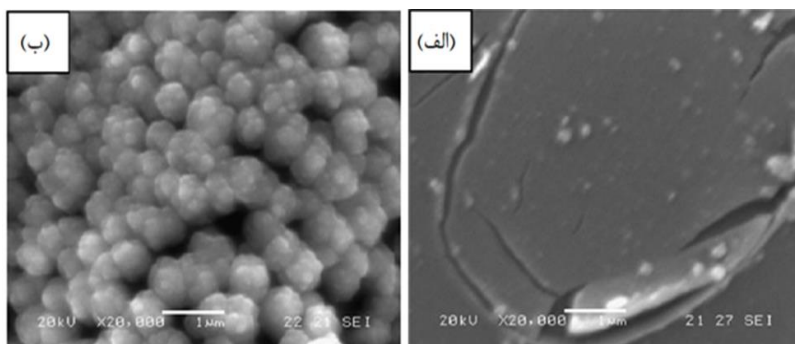
<sup>1</sup> Chen<sup>2</sup> Yu<sup>3</sup> Pandey

## ۵- فیلم های DLC آلاییده شده با فلزات (Me-DLC)

فیلم های نازک Me-DLC دارای خواص مکانیکی، شیمیایی و الکترونیکی منحصر به فرد هستند، بنابراین دارای پتانسیل بالایی برای کاربردهای مهمی در تربیولوزیک، الکترونیک، پزشکی و فناوری اطلاعات می باشند. رفتار تربیولوزیک عمدتاً به ویژگی های سطحی مربوط است و بنابراین این فیلم ها پتانسیل فوق العاده ای برای تغییر و بهبود خواص سطح و بهینه سازی سایش مواد و رفتار اصطکاکی دارند. علاوه بر این خواص مواد بالک مانند چرمگی و مقاومت حفظ می گردد. فیلم های DLC عمدتاً دارای کربن هستند که در اشکال مختلف مانند الماس، گرافیت، فولرین، نانولله های کربنی و پلیمر می باشد. گرافیت نرم و پایدار است و برای روانکاری قابل استفاده می باشد. روش رسوب، مقدار هیدروژن و مقدار دوپینگ مقدار پیوند SP<sub>2</sub> و SP<sub>3</sub> را مشخص می کنند. فیلم های Metal - DLC ابتدا در سال ۱۹۸۵ توسط Metal - DLC دیمیگن و همکارانش گزارش شد. آنها کار بر روی Metal - DLC با عناصر تشکیل دهنده کاربید (Cr, Ti, Si- DLC) و عناصر تشکیل دهنده غیر کاربیدی (Pt, Ag, CU) را آغاز کردند. این ها برای بهبود چسبندگی و کاهش تنش داخلی توسعه پیدا کرده اند با این حال دوپینگ سختی و مدول را کاهش می دهد که می تواند منجر به نزخ سایش بالاتر، شود. بنابراین برای کاهش سایش، چسبندگی باید همراه با مدول بالاتر باشد و سختی در سطح بهبود یابد. روش های مختلفی برای سنتز فیلم های Me-DLC بکار گرفته شده است. بر اساس استفاده از روش های مختلف طیف گستره ای از خواص مختلف در این فیلم ها دیده می شود. پوشش کاری فیلم های Me-DLC با اعمال ولتاژ بایاس منفی بر روی زیر لایه تاثیر مثبت به خواص فیلم در مقایسه با حالت معمولی یا بایاس مثبت دارد [۱۲].

## ۶- کربن شبه الماس آلاییده شده (دوپ) با نیکل

متاسفانه فیلم های DLC که به روش الکتروشیمیایی بدست می آیند دارای تنش باقیمانده هستند که سبب کاهش مقاومت پوشش و زیر لایه و شکست فیلم توسط بارگذاری زیاد می شود. تلاش زیادی برای کاهش تنش باقیمانده و یا بهبود خواص فیلم های DLC از طریق ترکیب کردن با عناصر فلزی انجام شده است. عناصر Cr, Ti, Si, Mo, Fe, Cu, N, F باقیمانده استفاده می شود. به عنوان مثال پال و همکارانش نانو ذرات نقره در مخلوط SnO<sub>2</sub> را با استفاده از روش الکتروشیمیایی بر روی شیشه ای با پوشش



شکل ۱۰- تصاویر میکروسکوپ الکترونی رویشی (الف) فیلم DLC دوپ نشده و (ب) فیلم DLC - دوپ نیکل [۸].

# مقاله

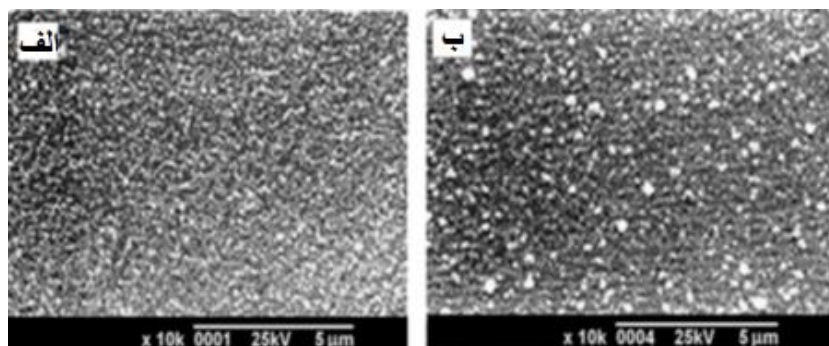
بهبود مقاومت سایشی فیلم DLC می‌شود. این به خوبی مطابقت تصاویر میکروسکوپ الکترونی روبشی فیلم های DLC دوپ‌نشده و دوپ‌شده با نیکل را نشان می‌دهد.

در شکل ۱۳ قسمت‌های باریک فیلم DLC – دوپ نیکل نشان داده شده است. شکل (ب، د) که فیلم‌های DLC دوپ‌شده را نشان می‌دهند در مقایسه با فیلم DLC دوپ‌نشده (الف، ج) شدت شکست کمتری دارد. فیلم‌های DLC دوپ نشده بدست آمده از طریق الکتروشیمیایی توانایی پوشش ضدسایش کمتری دارد که عمدتاً به دلیل تنفس باقیمانده بالا و چسبندگی ضعیف به زیر لایه سیلیکونی می‌باشد و باعث شکست در بارگذاری بالا می‌شود. در نتیجه فیلم DLC دوپ شده دارای مقاومت به سایش بهتری در مقابل فیلم DLC دوپ‌نشده می‌باشد. شکل ۱۴ نتایج تست خراش را بر روی فیلم DLC دوپ شده و نشده نشان می‌دهد، در حالیکه نیروی اصطکاک  $F_x$  و نیروی عادی  $F_z$  به عنوانتابع زمان بر حسب ثانیه آزمون شده‌اند. در آزمایش ابتدایی میکروبار در برابر فیلم به آرامی حرکت کرد. حذف شدن مواد فیلم بطور پیوسته رخ می‌دهد. بار که بطور کامل از سطح حذف شد به عنوان بار بحرانی ثبت گردید و افزایش شدید نیروی اصطکاک در آن مشاهده شد. همانطور که در شکل ۱۴ نشان داده شد فیلم DLC – دوپ نیکل دارای باند انرژی قوی‌تری با زیر لایه سیلیکونی نسبت به فیلم دوپ‌نشده می‌باشد. این ممکن است به فعل و انفعال بین نیکل و سیلیکون مربوط باشد. به عبارت دیگر نیکل دوپ‌شده در فیلم DLC می‌تواند باعث کاهش تفاوت ضریب دمای انبساط بین فیلم DLC و زیر لایه سیلیکونی شود [۸، ۹].

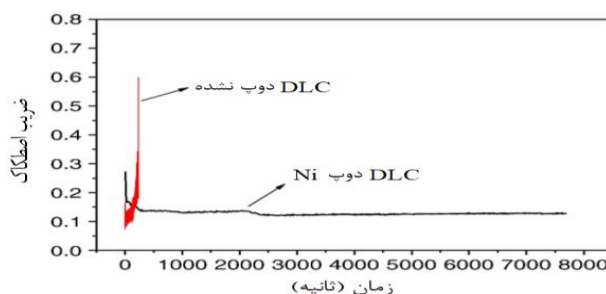
با مقایسه فیلم‌های کربن خالص ترکیب نیکل بطور قابل توجهی گرافیتی کردن فیلم‌های کربنی را کاهش می‌دهد و باعث کاهش کشش سطحی می‌شود. فیلم‌های DLC شامل Ni نسبت به فیلم‌های DLC خالص چسبندگی بیشتری دارند. اگر چگالی جریان یا مقدار نمک نیکل از حد بحرانی بیشتر شود، قطعاً طبیعت نانوبولوری ایمپلنت نیکل در بستر DLC کم می‌شود و می‌تواند با فیلم‌های نیکل غالب به دانه‌های پلی‌بلوری بزرگ تبدیل شوند. بنابراین با تغییر مقدار استات نیکل و چگالی جریان در هنگام رسوب فیلم‌هایی با همان اندازه اما با کسر حجمی مختلف فلز (f) می‌توان بدست آورد. شکل ۱۱ ریزنگار میکروسکوپ الکترونی روبشی دو نمونه فیلم N/۴۰۰ و Ni-DLC N/۱۰۰۰ که به روش الکتروشیمیایی رسوب داده شده را نشان می‌دهد. تصویر میکروسکوپ الکترونی روبشی این فیلم‌ها فشردگی بالا و اتصال قوی بین ذرات را نشان می‌دهد.

## ۷- خواص مکانیکی و سایشی

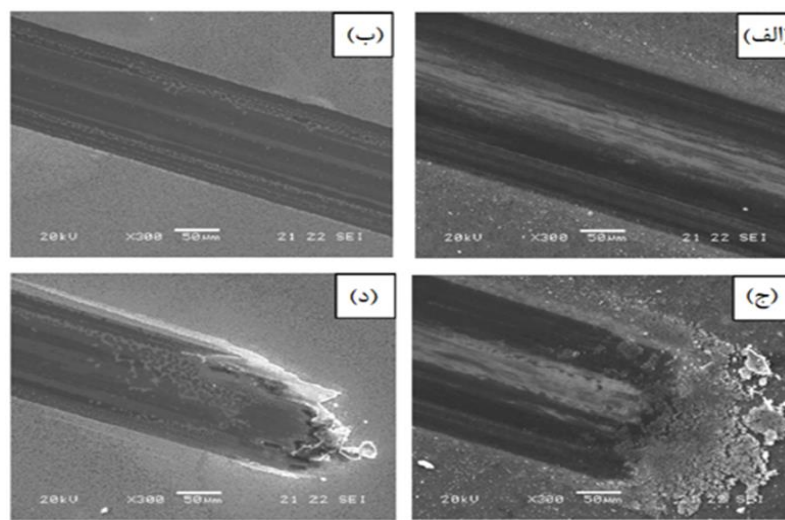
فیلم‌های کربن شبکه الماس سختی ویکرزا بالا مدول الاستیک بالا و تنفس داخلی بالایی دارند. این خواص بطور مستقیم با درصد کسری پیوند<sup>۳</sup> SP در ارتباط هستند. شکل ۱۲ تغییرات ضریب اصطکاک را در زمان لغزش برای فیلم DLC دوپ‌نشده و فیلم DLC – دوپ نیکل بر روی توپ فولادی ضدزنگ نشان می‌دهد. ضریب اصطکاک فیلم DLC دوپ‌نشده بعد از لغزش به مدت ۲۰۰ ثانیه به مقدار نسبتاً بالایی افزایش یافته و این بدان معنی است که فیلم DLC دوپ نشده دارای مقاومت سایشی پایینی است. برخلاف آنچه که در بالا ذکر شد فیلم DLC – دوپ نیکل دارای حالت پایدار است و ضریب اصطکاک آن حتی بعد از لغزش بیش از ۸۰۰۰ ثانیه حدود ۱۳ باقی می‌ماند. این نتیجه نشان از آن می‌باشد که نانو ذرات نیکل بطور مؤثر باعث



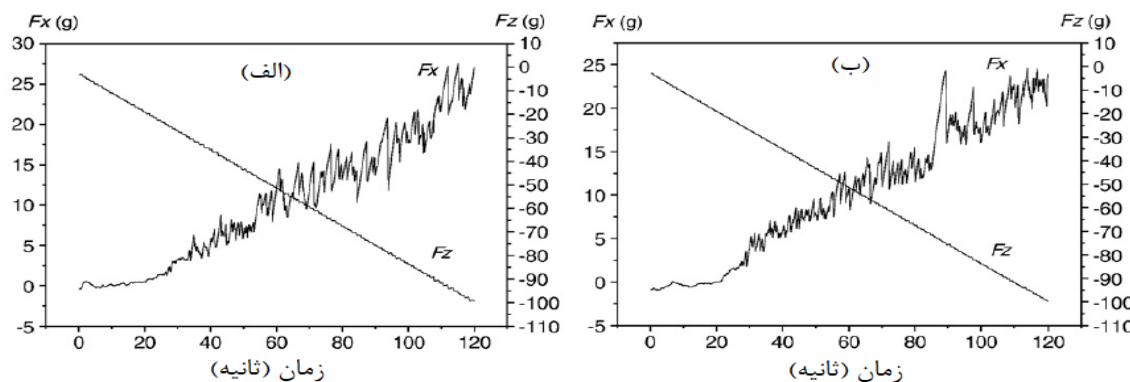
شکل ۱۱- تصاویر میکروسکوپ الکترونی روبشی فیلم‌های Ni-DLC (الف) در N/400 و (ب) در N/1000 غلظت حمام ۱۶٪



شکل ۱۲- منحنی ضریب اصطکاک نسبت به زمان کشش فیلم DLC دوپ نشده و فیلم DLC دوپ نشده و فیلم Ni بدون ضخامت پوشیده شده در ولتاژ ۱۵۰ ولت به مدت ۱ ساعت در برابر فولاد ضدزنگ C ۴۴۰ است [۸].



شکل ۱۳- تصاویر میکروسکوپ الکترونی رویشی از سایش (الف، ج) فیلم DLC دوب نیکل در ولتاژ ۱۵۰ ولت برای ۱ ساعت در مقابل توپ فولادی ضدزنگ ۴۰ C [۱۸].



شکل ۱۴- تغییر نیروی اصطکاک  $F_x$  و نیروی عادی  $F_z$  با زمان خراش دادن برای (الف) فیلم DLC دوب نیکل و (ب) فیلم DLC دوب نیکل [۱۸].

فلزات مختلف باعث تغییر خواص مکانیکی آنها (تنش و سختی داخلی پایین‌تر و بهبود چسبندگی) و همچنین خواص سایشی آنها می‌شود [۱۷]. فیلم‌های DLC می‌توانند محافظت خوبی برای زیر لایه‌های فلزی در مقابل خوردگی باشند با این حال عملکرد خودگی پوشش‌های DLC به شدت با ریزاساختار آن و یا وجود نقص در آن مرتبط است. تخلخل یکی از مهم‌ترین عوامل در ارزیابی قابلیت حفاظت خودگی پوشش‌های DLC است. مقاومت به خوردگی فیلم‌های DLC فوق نازک بطور قابل توجهی با زمان غوطه‌وری در یک محلول الکترولیتی به دلیل پر شدن حفره‌ها مواد PASSIVATING که مانع دسترسی الکترولیت به بستر می‌شود افزایش می‌یابد. از سوی دیگر مقاومت به خوردگی پوشش‌های DLC با افزایش ضخامت پوشش افزایش می‌یابد. با این حال مقاومت به چسبندگی پوشش‌های DLC به محافظت در برابر خوردگی فیلم‌ها تاثیر می‌گذارد یعنی مقاومت به چسبندگی بالای فیلم مقاومت به خوردگی را بهبود می‌بخشد. ساختار و خصوصیات فیلم‌های DLC به طور قابل ملاحظه‌ای با استفاده از روش‌های رسوب و همچنین شرایط رسوب مانند زیرلایه، دما، فشار گاز، و سطحی که دوب می‌شود تحت تاثیر قرار می‌گیرد [۱۸]. پوشش DLC محافظت خوبی برای جلوگیری از خراشیده شدن و حمله شیمیایی می‌باشد.

در مهندسی مکانیک، اصطکاک کم نشان‌دهنده کاهش انرژی، قابلیت اطمینان بالاتر و مقاومت به سایش بهتر است. انواع مختلف پوشش‌های DLC مکانیکی و الکتریکی متفاوتی دارند که عمدتاً بستگی به رسوب است. خواص مکانیکی و الکتریکی پوشش‌های مختلف DLC در جدول ۳ نشان داده شده‌است. خصوصیات سایشی پوشش‌های DLC فقط به نوع پوشش بستگی ندارد بلکه به شرایط کار و یا مشخصه‌های تماس بستگی دارد. به همین دلیل ضریب اصطکاک بستگی به پایداری حرارتی پوشش دارد که به ساختار و به اتمسفری که پوشش در آن عمل می‌کند بستگی دارد که در شکل ۱۵ این وابستگی نمایش داده شده است [۱۷]. عامل بسیار مهم در عملکرد پوشش‌های DLC، رطوبت و نوع گازی است که پوشش در آن عمل می‌کند که در شکل ۱۶ مشخص شده‌است.

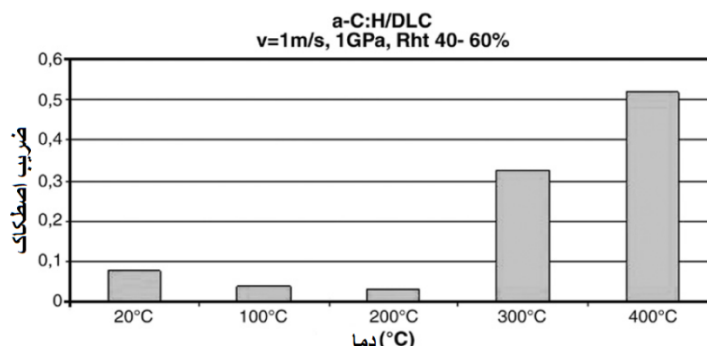
پوشش‌های DLC با مقداری هیدروژن اصطکاک بسیار کم در هوای خشک (حدود ۰/۰۵٪) را نشان می‌دهد. افزایش رطوبت باعث افزایش ضریب اصطکاک می‌شود بطوریکه رطوبت بیش از ۹۰٪ مقادیر اصطکاک ۰/۱۵ تا ۰/۳ را نشان می‌دهد. از سوی دیگر برای کربن بی‌شک (a-c) ضریب اصطکاک با افزایش رطوبت نسبی کاهش می‌یابد.

همانطور که در شکل ۱۷ نشان داده می‌شود دوب کردن پوشش‌ها DLC با

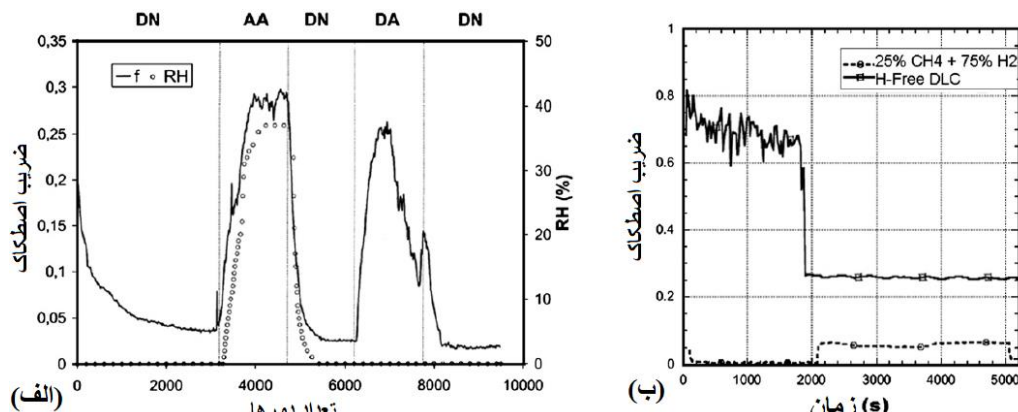
# مقاله

جدول ۳- خواص مکانیکی و الکتریکی پوشش‌های مختلف DLC [۱۷]

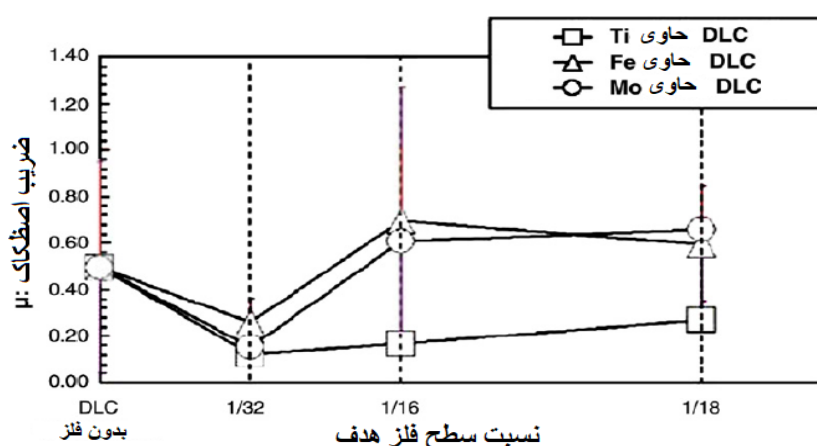
مقاومت الکتریکی ( $\Omega \text{ cm}$ )	میکروسختی (HV)	انرژی (GPa)	چگالی ( $\text{kg/m}^3$ )	پوشش / مواد
$10^{-7} - 10^{-2}$	۸۰۰۰-۱۰۴۰۰	۱۱۰۰	۳۵۱۵	الماس
$5 \times 10^{-5}$	نرم	-	۲۲۶۰	گرافیت
$10^{-2} - 10^{-3}$	۸۰۰-۱۲۰۰	-	۱۳۰۰-۱۵۵۰	کربن شبکه‌ای
$10^{-1} - 10^{-2}$	۲۰-۵۰	۱۱-۷۰	۱۸۰۰-۲۲۰۰	تبخیر a-c
$10^{-1} - 10^{-5}$	۱۰۰۰-۱۰۰۰۰	۱۱-۷۰	۱۸۰۰-۲۴۰۰	اسپاترینگ a-c
$10^{-7} - 10^{-14}$	۱۲۰۰-۳۰۰۰	۵-۲۵	۱۵۰۰-۲۰۰۰	رسوب‌دهی شیمیایی از فاز بخاریه کمک پلاسما H a-c:H
$10^{-7} - 10^{-14}$	۴۰۰۰-۶۰۰۰	۵-۲۵	۱۵۰۰-۲۰۰۰	یون a-c:H
$>10^{-13}$	۶۰۰۰-۱۲۰۰۰	-	۲۸۰۰	رسوب‌دهی شیمیایی از فاز بخار به کمک پلاسما الماس



شکل ۱۵- تاثیر دمای کار بر ضریب اصطکاک پوشش [۱۷] a-c:H



شکل ۱۶- تاثیر (الف) رطوبت نسبی و (ب) اتمسفر (b) بر ضریب اصطکاک پوشش [۱۷] a-c:H



شکل ۱۷- تاثیر دوپ فلز بر ضریب اصطکاک برای پوشش‌های DLC در تماس کششی خشک [۱۷]

افزایش سختی سطح مواد و بهبود کار آنها می شود [۲۳].

#### ۸- نتیجه گیری

پوشش های DLC خواصی مانند شفافیت در منطقه زیرقرمز، سختی بالا و مقاومت به سایش عالی دارند که بسته به روش رسوب دهنده خواص متفاوتی حاصل می شود. امروزه پوشش های DLC کاربردهای فراوانی دارند که مهم ترین آنها استفاده در فضا به عنوان روان کننده جامد برای افزایش مقاومت به سایش و کاهش اصطکاک در شرایط خلا می باشد. فیلم های DLC دو عیب دارند که یکی تنفس داخلی بالا و دیگری پایداری حرارتی کم آنها است که برای رفع این مشکل ها از دوب کردن سایر فلزات در DLC استفاده می شود. فیلم های DLC دوب شده دارای مقاومت به سایش و اصطکاک بهتری نسبت به فیلم های DLC دوب نشده و چسبندگی به زیر لایه فیلم های دوب شده بیشتر از دوب نشده است. شرایط کار باعث خواص و ویژگی های مختلف در پوشش کربن شبه الماس می شود مثلا همان طور که ذکر شد با افزایش ولتاژ اندازه دانه، سختی و زبری سطح افزایش می یابد، افزایش دما باعث افزایش فشردگی دانه ها می شود، هر چقدر غلظت اسید استیک بیشتر شود نسبت ID/IG بیشتر می شود، افزایش رطوبت محیط کاری DLC ضریب اصطکاک آن را افزایش می دهد.

انواع مختلفی از ورق ها، متله و پیچ و مهره را که با پوشش DLC پوشانده شده، بررسی شده است بعضی از اینها در معرض اتمسفر و در طی ۷ سال قرار گرفته اند و هیچ تخریبی صورت نگرفته است [۱۹]. پوشش های DLC به دلیل مقاومت به خوردگی بالای خود در قطعات خودرو و در اتومبیل های مسابقه ای به عنوان مثال در سیستم تزریق دیزل استفاده می شود [۲۰]. در دنیای مدرن تقاضای روزافزون برای ایمپلنت ها و فناوری های مربوطه به تولید آنها وجود دارد. به نظر می رسد استفاده از پوشش های کربن شبه الماس ببروی مواد پزشکی زیستی روشنی امیدوار کننده برای بهبود عملکرد سایشی است زیرا دارای سازگاری عالی و مقاومت به خوردگی بالای می باشد. بهبود خواص ذکر شده می تواند با استفاده از دوبینگ پوشش ها ایجاد شود. یکی از مهم ترین راه ارتباطی بافت با ماده زیستی در هر دو روش درمان کوتاه یا بلند مدت از طریق سطح می باشد. استفاده از پوشش های زیست سازگار مانند پوشش DLC به نظر بهترین راهکار می آید. این پوشش ها مانع نفوذ یون فلزی به بافت نزدیک می شود و علاوه بر آن کربن خود دارای ویژگی زیست سازگاری عالی می باشد [۱۹، ۲۰]. امروزه سیستم انتقال دندۀ به سمت وزن کم و عمر طولانی به ویژه در زمینه هوافضا پیش می رود. انتقال دندۀ سنتی در شرایط کار سخت نمی تواند به خوبی کار کند. بنابراین ارزشمند است که راه های مقرر به صرفه برای کاهش وزن چرخ دندۀ و بهبود عمر مفید آن پیدا شود. نتیجه گیری شده است که پوشش های DLC باعث

#### ۹- مراجع

1. Astm hand book, "Surface engineering", Astm international, VOL. 5, 11<sup>th</sup> ed. USA.
۲. م. کریمی، ف. عباسی، م. مهدویان احمدی، "مروی بر پوشش های روان کننده"، نشریه علمی ترویجی مطالعات در دنیای رنگ، ۸، ۴۱-۵۳، ۱۳۹۷
3. J. Fontaine, "Towards the use of diamond-like carbon solid lubricant coatings in vacuum and space environments", J. Eng. Mater. Technol., 222, Doi: 10.1243/13506501JET323, **2008**.
4. A. Grill, "Diamond-like carbon: state of the art", Diamond Relat. Mater. 8, 428–434, **1999**.
5. K. A. H. Al Mahmud, M. A. Kalam, H. H. Masjuki, H. M. Mobarak, and N.W. M. Zulkifli, "An updated overview of diamond-like carbon coating in tribology", Crit. Rev. Solid State Mater. Sci. 40, 90-118, **2015**.
6. R. K. Roy, S. F. Ahmed, J. W. Yi, M. W. Moon, K. R. Lee, Y. Jun, "Improvement of adhesion of DLC coating on nitinol substrate by hybrid ion beam deposition technique", Vac. 1179–1183, **2009**.
7. R. K. Roy, B. Deb, B. Bhattacharjee, A.K. Pal, "Synthesis of diamond-like carbon film by novel electrodeposition route", Thin Solid Films. 422, 92–97, **2002**.
8. Kedong Ma, Guangbin Yang, Laigui Yu, Pingyu Zhang, "Synthesis and characterization of nickel-doped diamond-like carbon film electrodeposited at a low voltage", Surf. Coat. Technol. 204 , 2546–2550, **2010**.
9. J.Robertson, "Properties of diamond-like carbon", Surf. Coat. Technol. 50, 185-203, **1992**.
10. S. Gupta, M. Pal Chowdhury, A.K. Pal, "Synthesis of DLC films by electrodeposition technique using formic acid as electrolyte", Diamond Relat. Mater. 13, 1680– 1689, **2004**.
11. Ch. Cao, H. Zhu, H. Wang, "Electrodeposition diamond-like carbon films from organic liquids", Thin Solid Films. 368, 203-207, **2000**.
12. S. K. Pal, "Synthesis, characterization and tribological behavior of nitrogen-doped chromium-diamondlike carbon nanocomposite thin film", Louisiana State University Master's Theses, **2004**.
13. H. Hassannejad, F. Bogani, M. Boniardi, A. Casaroli, C. Mele, B. Bozzini, "Electrodeposition of DLC films on carbon steel from acetic acid solutions", Trans. Inst. Met. Finish. 92, 183-188, **2014**.
14. H. Pang, X.Wang, G. Zhang, H. Chen, G.Lv, S. Yang, "Characterization of diamond-like carbon films by SEM, XRD and Raman spectroscopy", Appl. Surf. Sci. 256, 6403–6407, **2010**.
15. K. Sreejith, J. Nuwad, C.G.S. Pillai, "Low voltage electrodeposition of diamond like carbon (DLC)", Appl. Surf. Sci. 252, 296–302, **2005**.
16. B. Pandey, S.Hussain, "Effect of nickel incorporation on the optical properties of diamond-like Carbon (DLC) matrix", J. Phys. Chem. Solids, 72, 1111–1116, **2011**.
17. M. Sedlaček, B. Podgorník, J. Vižintin, "Tribological properties of DLC coatings and comparison with test results: Development of a database", Mater. Charact. 59, 151–161, **2008**.

## مقالات

18. M. Scendo, K.staszewska, "Effect of temperature on anti-corrosive properties of diamond-like carbon coating on S355 Steel", Institute of chemistry, jan kochanowski university, **2019**.
19. A. H. Lettington,"Optical properties and applications of diamond-like carbon coatings", Elsevier Science Publishers B.V, 805- 809, **1992**.
20. E.Alakoski, V. Matti Tiainen, A. Soininen, Y. T. Kontinen, "Load-bearing biomedical applications of diamond-like carbon coatings - current status", Open Orthop. J. 2, 43-50, **2008**.
21. F. Guo, G.Dong, L. Qin, D. Zhang, J. Guo, "Tribological performance of DLC coating under aqueous solutions", Natural Science Foundation of Shaanxi Province of China, **2019**.
22. A. Jastrzębska, K. Jastrzębski, "A review of mechanical properties of diamond-like carbon coatings with various dopants as candidates for biomedical applications", Acta Innovations. 2300-5599, **2017**.
23. Y. Xiao, W. Shi, L. Li, "Fatigue performance of cylindrical gearing with DLC coatings", The State Key Laboratory of Mechanical Transmission, Chongqing University, **2014**.